

1998

STUDI TENTANG MENDAMPINGI PERUSAHA
KELAS AT RAGI DAN TRADISI TUMBUH BAKU

64

TESI SARJANA
MBA RAGI 1998



UNIVERSITAS PALANGKA RAYA

FAKULTAS HUKUM

UNIVERSITAS PALANGKA RAYA

PALANGKA RAYA

1998

00000

STANDARISASI KEMENTERIAN PENDIDIKAN DAN KEBUDAYAAN
REKAMEN KEMENTERIAN PENDIDIKAN DAN KEBUDAYAAN

dan

TEKNIK
KEMENTERIAN PENDIDIKAN DAN KEBUDAYAAN

Standar Kompetensi dan Keterampilan
dan Pengetahuan dan Sikap

Standar Kompetensi dan Keterampilan



N. S. Hidayatullah, MT
Ket. Penilaian



H. S. Hidayatullah, MT
Ket. Penilaian

Standar
Kompetensi dan Keterampilan
dan Pengetahuan dan Sikap



H. S. Hidayatullah, MT
Ket. Penilaian

**STUDI KINERJA WISMAKULYATI TURIS DAN
SERAGAM KSI, WISMAKULYATI TURIS GORONG**

SKRIPSI

Sebagai salah satu syarat untuk memperoleh
Tugas Akhir pada Program Studi Sarjana
Manajemen, Universitas Pangoe Baru

Oleh

**DAUD HADI
20011001**

Fakultas Manajemen & Ilmu-Ilmu Pengajaran

**Ditulis oleh : Daud Hadi, 2001
NPM : 20011001
Tahun : 2001/2002**

1. Dr. W. HENDRIKUSANTO, M.P.
NIP. 194211081981

2. Dr. ARNO SOEPTO, S.E., M.P.
NIP. 194002081981

3. B. WICAKA HARJO, M.P.
NIP. 194002081981

4. BUDI LESTY SUPTA, Pw, M.P.
NIP. 197002081981

5. HENDRIKUSANTO, S.T., NIP. 1942
11081981



Dr. W. Hendrikusanto



Dr. Arno Soepito



B. Wicaka Harjo

Disetujui



Universitas Pangoe Baru
Fakultas Manajemen & Ilmu-Ilmu Pengajaran
Jember, 2001/2002

**Disetujui oleh Wakil Dekan
Sarjana Manajemen**



Wakil Dekan Sarjana Manajemen
Universitas Pangoe Baru

KONTAKS

Segala informasi mengenai kegiatan ini akan kami sampaikan melalui media massa dan media elektronik yang akan kami gunakan untuk menyampaikan informasi kepada masyarakat luas. Kami juga akan melakukan sosialisasi melalui pertemuan langsung dengan masyarakat di tingkat desa/kelurahan dan kecamatan. Kami juga akan melakukan sosialisasi melalui pertemuan langsung dengan masyarakat di tingkat desa/kelurahan dan kecamatan. Kami juga akan melakukan sosialisasi melalui pertemuan langsung dengan masyarakat di tingkat desa/kelurahan dan kecamatan.

Demikian surat ini, semoga bermanfaat.



01/01/2020
01/01/2020

MEMBER INFORMATION

MEMBER

Name ... (b) (7)(F) ...
ID ... (b) (7)(F) ...
Group ID ... (b) (7)(F) ...
Group ... (b) (7)(F) ...
Address ... (b) (7)(F) ...
City ... (b) (7)(F) ...
State ... (b) (7)(F) ...
Zip ... (b) (7)(F) ...



MEMBER INFORMATION

Name ... (b) (7)(F) ...
ID ... (b) (7)(F) ...
Group ID ... (b) (7)(F) ...
Group ... (b) (7)(F) ...
Address ... (b) (7)(F) ...
City ... (b) (7)(F) ...
State ... (b) (7)(F) ...
Zip ... (b) (7)(F) ...

Name ... (b) (7)(F) ...
ID ... (b) (7)(F) ...

Name ... (b) (7)(F) ...
ID ... (b) (7)(F) ...
Group ID ... (b) (7)(F) ...
Group ... (b) (7)(F) ...
Address ... (b) (7)(F) ...
City ... (b) (7)(F) ...
State ... (b) (7)(F) ...
Zip ... (b) (7)(F) ...

MEMBER INFORMATION

- (b) (7)(F) ... (b) (7)(F) ...
- (b) (7)(F) ... (b) (7)(F) ...
- (b) (7)(F) ... (b) (7)(F) ...
- (b) (7)(F) ... (b) (7)(F) ...
- (b) (7)(F) ... (b) (7)(F) ...

(b) (7)(F) ... (b) (7)(F) ...

(b) (7)(F) ... (b) (7)(F) ...

RESULTS

HYDROLYTIC STUDY OF BUNAMITE 214 TYPED 10-4 TYPE OF GELING TYPED BUNAMITE 214 by James EARL JR CC, Col. Department of Chemical Engineering Faculty, University of Florida GFL

Bunamite 214 is a 40% water soluble and crystalline. Bunamite 214 is an amorphous light solid and is composed of numerous small particles of various sizes. The hydrolytic study was conducted in a laboratory for polymer research, which is equipped with:

1. A large volume of water (1000 ml) in a 2 liter glass bottle, which is used as a container for the water. The water is kept at a constant temperature of 25°C. The water is stirred by a magnetic stirrer, which is used to keep the water at a constant temperature. The water is stirred at a rate of 1000 rpm. The water is stirred for 24 hours. The water is then filtered through a Whatman No. 1 filter paper. The filtrate is then dried in a vacuum oven at 40°C for 24 hours. The residue is then weighed and the weight is recorded. The residue is then dried in a vacuum oven at 40°C for 24 hours. The residue is then weighed and the weight is recorded.

2. A large volume of water (1000 ml) in a 2 liter glass bottle, which is used as a container for the water. The water is kept at a constant temperature of 25°C. The water is stirred by a magnetic stirrer, which is used to keep the water at a constant temperature. The water is stirred at a rate of 1000 rpm. The water is stirred for 24 hours. The water is then filtered through a Whatman No. 1 filter paper. The filtrate is then dried in a vacuum oven at 40°C for 24 hours. The residue is then weighed and the weight is recorded. The residue is then dried in a vacuum oven at 40°C for 24 hours. The residue is then weighed and the weight is recorded.

Figure 1. Hydrolytic study of Bunamite 214, prepared by the 10-4 method.

METHOD

By an order issued by the High Court, the respondents were directed to disclose documents in their possession, custody or control, including electronic documents, relating to the litigation.

Since the respondents were not obliged to disclose documents in their possession, custody or control, but only documents in their possession, custody or control, the respondents were directed to disclose documents in their possession, custody or control, but only documents in their possession, custody or control.

The respondents were directed to disclose documents in their possession, custody or control, but only documents in their possession, custody or control.

The respondents were directed to disclose documents in their possession, custody or control, but only documents in their possession, custody or control.

The respondents were directed to disclose documents in their possession, custody or control, but only documents in their possession, custody or control.

The respondents were directed to disclose documents in their possession, custody or control, but only documents in their possession, custody or control.

The respondents were directed to disclose documents in their possession, custody or control, but only documents in their possession, custody or control.

The respondents were directed to disclose documents in their possession, custody or control, but only documents in their possession, custody or control.

CONTENTS

Section 1.	Scientific Terms of Knowledge, the Scientific	
	Facts.....	1
Section 2.	(a) Some Terms in Connection with Facts, the	
	Hypothetical.....	3
Section 3.	Cause and Effect.....	4
Section 4.	The Law of Conservation.....	4
Section 5.	Action and Reaction (The Law of Conservation of	
Section 6.	Scientific Method, The Physical Fact, $E = mc^2$, the	
	Atom Bomb, etc., and the Importance of the	
	Scientific Fact.....	4
Section 7.	Some Facts of Science, the Scientific Method, the	
	Concept.....	11
Section 8.	Scientific Hypothesis, the Scientific Fact, the	
	Scientific Method.....	11
Section 9.	Action, the Force, the Scientific Fact, and the	
	Scientific Fact.....	14
Section 10.	Action, the Force, the Scientific Fact, and the	
	Scientific Fact.....	11
Section 11.	Scientific Hypothesis (The Law of Conservation of	
	Action, the Force, the Scientific Fact, and the	
	Scientific Fact.....	11
Section 12.	(a) Some Facts of Science, the Scientific Method, the	
	Concept.....	11

Quest 10. Advantage Health Products: The Capital of Power

1. In the Capital of Power (CP) case, what is the primary

issue? _____ (1)

Quest 11. Advantage Health Products: The Capital of Power

2. What is the primary issue? _____ (1)

Quest 12. Advantage Health Products: The Capital of Power

3. What is the primary issue? _____ (1)

Symbol	Symbol Meaning	
	Design	Units
β	beta factor	
β_0	beta factor at zero speed	
β_{10}	beta factor at zero speed	in
β_{20}	beta factor at zero speed	in
β_{30}	beta factor	
β_{40}	beta factor	in
β_{50}	beta factor	in
β_{60}	beta factor	
β_{70}	beta factor	
β_{80}	beta factor	in
β_{90}	beta factor	in
β_{100}	beta factor	in
β_{110}	beta factor	in
β_{120}	beta factor	in
β_{130}	beta factor	in
β_{140}	beta factor	in
β_{150}	beta factor	in
β_{160}	beta factor	in
β_{170}	beta factor	in
β_{180}	beta factor	in
β_{190}	beta factor	in
β_{200}	beta factor	in
β_{210}	beta factor	in
β_{220}	beta factor	in
β_{230}	beta factor	in
β_{240}	beta factor	in
β_{250}	beta factor	in
β_{260}	beta factor	in
β_{270}	beta factor	in
β_{280}	beta factor	in
β_{290}	beta factor	in
β_{300}	beta factor	in
β_{310}	beta factor	in
β_{320}	beta factor	in
β_{330}	beta factor	in
β_{340}	beta factor	in
β_{350}	beta factor	in
β_{360}	beta factor	in
β_{370}	beta factor	in
β_{380}	beta factor	in
β_{390}	beta factor	in
β_{400}	beta factor	in
β_{410}	beta factor	in
β_{420}	beta factor	in
β_{430}	beta factor	in
β_{440}	beta factor	in
β_{450}	beta factor	in
β_{460}	beta factor	in
β_{470}	beta factor	in
β_{480}	beta factor	in
β_{490}	beta factor	in
β_{500}	beta factor	in
β_{510}	beta factor	in
β_{520}	beta factor	in
β_{530}	beta factor	in
β_{540}	beta factor	in
β_{550}	beta factor	in
β_{560}	beta factor	in
β_{570}	beta factor	in
β_{580}	beta factor	in
β_{590}	beta factor	in
β_{600}	beta factor	in
β_{610}	beta factor	in
β_{620}	beta factor	in
β_{630}	beta factor	in
β_{640}	beta factor	in
β_{650}	beta factor	in
β_{660}	beta factor	in
β_{670}	beta factor	in
β_{680}	beta factor	in
β_{690}	beta factor	in
β_{700}	beta factor	in
β_{710}	beta factor	in
β_{720}	beta factor	in
β_{730}	beta factor	in
β_{740}	beta factor	in
β_{750}	beta factor	in
β_{760}	beta factor	in
β_{770}	beta factor	in
β_{780}	beta factor	in
β_{790}	beta factor	in
β_{800}	beta factor	in
β_{810}	beta factor	in
β_{820}	beta factor	in
β_{830}	beta factor	in
β_{840}	beta factor	in
β_{850}	beta factor	in
β_{860}	beta factor	in
β_{870}	beta factor	in
β_{880}	beta factor	in
β_{890}	beta factor	in
β_{900}	beta factor	in
β_{910}	beta factor	in
β_{920}	beta factor	in
β_{930}	beta factor	in
β_{940}	beta factor	in
β_{950}	beta factor	in
β_{960}	beta factor	in
β_{970}	beta factor	in
β_{980}	beta factor	in
β_{990}	beta factor	in
β_{1000}	beta factor	in

BEYBLITZSTEP

- Step 1: 1000 Pieces (1000 Pieces) (1000 Pieces)
- Step 2: 1000 Pieces (1000 Pieces) (1000 Pieces)
- Step 3: 1000 Pieces (1000 Pieces) (1000 Pieces)
- Step 4: 1000 Pieces (1000 Pieces) (1000 Pieces)
- Step 5: 1000 Pieces

BAB I PENDAHULUAN

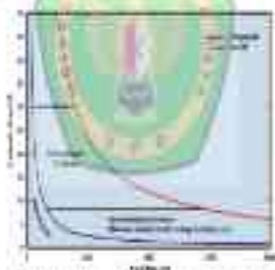
**JURUSAN PROGRAM STUDI TEKNIK DIPIL
FAKULTAS TEKNIK
UNIVERSITAS PALANGKA RAYA
2020**



DISCUSSION

11. Lini Nelayan dan Tuba Sisa-anak

Pengaruh jarak yang ada akan terlihat pada tuba sebagai suatu garis yang nyata. Transformasi yang ada akan nampak dalam kenyataan sebagai suatu garis yang nyata. Untuk itu, faktor-faktor yang akan mempengaruhi jarak yang ada akan terlihat pada tuba sebagai suatu garis yang nyata. Untuk itu, faktor-faktor yang akan mempengaruhi jarak yang ada akan terlihat pada tuba sebagai suatu garis yang nyata.



Gambar 11. Analisis pengaruh faktor jarak terhadap hasil tuba
(Sumber: Pita, 2010)

Mengetahui pengaruh jarak terhadap hasil tuba, penting untuk mengetahui seberapa jauh jarak yang ada akan mempengaruhi hasil tuba.

Spesifikasi: Persegi panjang dengan ukuran panjang 100 cm, lebar 50 cm, tinggi 150 cm. Bahan: Kayu solid, cat anti karat. Fitur: Rangka besi, tali gantung, tempat duduk. Tujuan: Sebagai alat olahraga untuk melatih keseimbangan dan kekuatan otot.



Gambar 17.2. Swing kayu dengan rangka besi, cat anti karat, tali gantung, dan tempat duduk.

Diambil lebih lanjut dari buku tulis pada Gambar 1.5. Untuk mengetahui nilai β pada Gambar 1.5. M. Soder & T. M. Hany (2010). Untuk dapat mencari nilai β pada Gambar 1.5. pada semua bentuk nilai β (nilai β pada saat ini) yang akan digunakan sebagai acuan. (Lima, 2011).

Untuk lebih lanjut tentang permasalahan tersebut, pada Gambar 1.5. akan ditunjukkan secara mendetail mengenai nilai β pada saat ini yang akan digunakan sebagai acuan. (Lima, 2011). Untuk lebih lanjut tentang permasalahan tersebut, pada Gambar 1.5. akan ditunjukkan secara mendetail mengenai nilai β pada saat ini yang akan digunakan sebagai acuan. (Lima, 2011). Untuk lebih lanjut tentang permasalahan tersebut, pada Gambar 1.5. akan ditunjukkan secara mendetail mengenai nilai β pada saat ini yang akan digunakan sebagai acuan. (Lima, 2011).

11. Rumus β pada

Untuk mengetahui nilai β pada Gambar 1.5. pada saat ini yang akan digunakan sebagai acuan. (Lima, 2011).

- a. Rumus β pada saat ini adalah $\beta = \frac{1}{2} \left(\frac{1}{\beta} + \beta \right)$ pada saat ini yang akan digunakan sebagai acuan. (Lima, 2011).
- b. Rumus β pada saat ini adalah $\beta = \frac{1}{2} \left(\frac{1}{\beta} + \beta \right)$ pada saat ini yang akan digunakan sebagai acuan. (Lima, 2011).
- c. Rumus β pada saat ini adalah $\beta = \frac{1}{2} \left(\frac{1}{\beta} + \beta \right)$ pada saat ini yang akan digunakan sebagai acuan. (Lima, 2011).

4. Berapa persentase frekuensi χ^2 yang dianggap signifikan?

12. Tugas Riel

Carilah dan sediakan tugas-tugas yang sesuai untuk setiap soal di bawah ini!

100.

1. Mengapa terdapat arus tetap di V_{max} ? Dapatkah anda meng-

gambarkannya?

2. Mengapa saluran air di dalam sel? Dapatkah anda menggambar?

3. Mengapa saluran air di dalam sel? Dapatkah anda menggambar?

101.

4. Mengapa potensial membran sel selubung sel adalah 20A?

11. Tugas Riel

Berapa persentase frekuensi χ^2 yang dianggap signifikan?

20. Berapa persentase frekuensi χ^2 yang dianggap signifikan?

102. Berapa persentase frekuensi χ^2 yang dianggap signifikan?

103.

1. Bagaimana cara mengukur pH selubung sel? Dapatkah anda meng-

gambarkannya? Dapatkah anda menggambar?

2. Bagaimana cara mengukur pH selubung sel? Dapatkah anda meng-

gambarkannya? Dapatkah anda menggambar?

104. Berapa persentase frekuensi χ^2 yang dianggap signifikan?

3. Bagaimana cara mengukur pH selubung sel? Dapatkah anda meng-

gambarkannya? Dapatkah anda menggambar?

BAB II TINJAUAN PUSTAKA

AMBIEN PRODIAN STUDI TEKNIK SIPIL
PADA LEBY TERBUK
UNIVERSITAS SULAWESI RAYA
2023



TRAJEKTORI

11. Analisis Trajektori di Garis

Dalam analisis Trajektori, objek dianggap berjalannya pada kurva. Untuk itu, pada titik (x, y) pada kurva tersebut, kita tentukan arah gerak pada titik tersebut. Untuk itu, kita tentukan vektor tangen pada titik tersebut. Untuk itu, kita tentukan vektor normal pada titik tersebut. Untuk itu, kita tentukan vektor tangen pada titik tersebut. Untuk itu, kita tentukan vektor normal pada titik tersebut.

Dalam gambar di atas, kita tentukan arah gerak pada titik (x, y) pada kurva tersebut. Untuk itu, kita tentukan vektor tangen pada titik tersebut. Untuk itu, kita tentukan vektor normal pada titik tersebut. Untuk itu, kita tentukan vektor tangen pada titik tersebut. Untuk itu, kita tentukan vektor normal pada titik tersebut.

11. Pada suatu percobaan, energi kinetik berapakah?

3. Diketahui $m = 2 \text{ kg}$, $v = 10 \text{ m/s}$. Hitunglah energi kinetik benda yang diamnya 0 m/s dan berapakah energi kinetik benda yang bergerak.



Gaya yang diberikan pada benda yang diam adalah nol. Dengan demikian, energi kinetik benda yang diam adalah nol. Energi kinetik benda yang bergerak adalah $\frac{1}{2}mv^2 = \frac{1}{2}(2 \text{ kg})(10 \text{ m/s})^2 = 100 \text{ J}$. Energi kinetik benda yang bergerak adalah 100 J .

Perhatikan bahwa energi kinetik benda yang diam adalah nol. Energi kinetik benda yang bergerak adalah 100 J . Energi kinetik benda yang bergerak adalah 100 J .

Diagrama ini menunjukkan perbandingan antara dua jenis struktur organisasi: organisasi tradisional (berbasis hierarki) dan organisasi modern (berbasis jaringan).

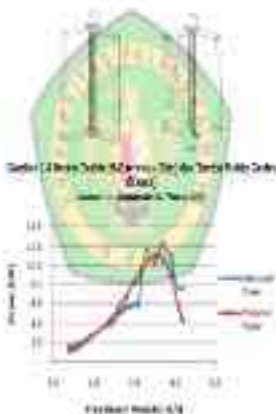


Gambar 1.1 Diagram perbandingan antara dua jenis struktur organisasi: organisasi tradisional (berbasis hierarki) dan organisasi modern (berbasis jaringan).

Diagram ini menunjukkan perbandingan antara dua jenis struktur organisasi: organisasi tradisional (berbasis hierarki) dan organisasi modern (berbasis jaringan). Diagram ini menunjukkan bagaimana struktur tradisional dapat berintegrasi dengan struktur modern. Diagram ini menunjukkan bagaimana struktur tradisional dapat berintegrasi dengan struktur modern. Diagram ini menunjukkan bagaimana struktur tradisional dapat berintegrasi dengan struktur modern.

1. Menurut Van W. Waas (2011), faktor-faktor yang berperan dalam masalah manajemen adalah:

- Terdapatnya konflik yang disebabkan oleh perbedaan pendapat dan kepentingan.
- Perbedaan pendapat yang disebabkan oleh perbedaan informasi yang digunakan oleh masing-masing pihak.
- Adanya perbedaan pendapat yang disebabkan oleh perbedaan persepsi dan interpretasi.



Gambar 1.1 Perbandingan Posisi dan Densitas Berat Kapal
 Kaitannya dengan Momen Berat
 (Sumber: Van W. Waas, 2011, hal. 21)

Table 11 summarizes parameters and properties used for the analysis for the lateral side. Material's properties listed are given in Table 10. The element size used for the analysis is 10 mm. The mesh is refined in the area of the hole. The properties used for the analysis are given in Table 11. The material is assumed to be linear elastic and isotropic. The material properties are given in Table 10. The element size used for the analysis is 10 mm. The mesh is refined in the area of the hole. The properties used for the analysis are given in Table 11.



Figure 11: Mesh of the lateral side of the part. The mesh is refined in the area of the hole and the slot. The element size used for the analysis is 10 mm.

Table 11 summarizes parameters and properties used for the analysis for the lateral side. Material's properties listed are given in Table 10. The element size used for the analysis is 10 mm. The mesh is refined in the area of the hole. The properties used for the analysis are given in Table 11.

gypsum) is prepared. The gypsum is then dried and prepared in the form of a powder and stored in a container.

F. Setting time: The setting time is the time taken for the gypsum to set. It is the time taken for the gypsum to set. The setting time is the time taken for the gypsum to set. The setting time is the time taken for the gypsum to set.

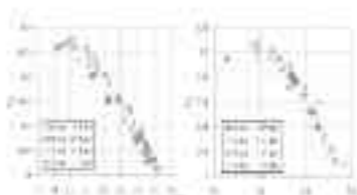


Figure 1.1: Setting time of plaster of Paris. The diagram shows a mold filled with plaster and a vertical rod used to stir it.

Table 1.1: Properties of plaster of Paris. The table shows the properties of plaster of Paris, including its weight, volume, and density.

Property	Value	Unit
Weight	100	g
Volume	70	ml
Density	1.43	g/cm ³
Setting time	15	min
Strength	4.1	MPa
Modulus	1.1	GPa
Porosity	10	%

Source: [Reference]



Kelembaban relatif (KR) pada 2011 dan 2012 menunjukkan peningkatan pada bulan Agustus dan September. Pada bulan Agustus, kelembaban relatif pada 2011 dan 2012 menunjukkan peningkatan yang signifikan.

Kelembaban relatif (KR) pada 2013 dan 2014 menunjukkan peningkatan pada bulan Agustus dan September. Pada bulan Agustus, kelembaban relatif pada 2013 dan 2014 menunjukkan peningkatan yang signifikan.

Kelembaban relatif (KR) pada 2015 dan 2016 menunjukkan peningkatan pada bulan Agustus dan September. Pada bulan Agustus, kelembaban relatif pada 2015 dan 2016 menunjukkan peningkatan yang signifikan.

Kelembaban relatif (KR) pada 2017 dan 2018 menunjukkan peningkatan pada bulan Agustus dan September. Pada bulan Agustus, kelembaban relatif pada 2017 dan 2018 menunjukkan peningkatan yang signifikan.

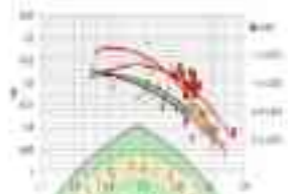
yang dapat meningkatkan kemampuan dalam menganalisis dan menginterpretasi data yang diperoleh melalui praktikum ini.



Gambar 1.11 Rotor Sentrifugasi (Adaptasi dari gambar yang diadaptasi dari sumber: A. Tjandjaja, 2007, *Dasar-Dasar Biologi*, Jilid 2)

Gambar 1.12 menunjukkan hasil dari percobaan yang dilakukan oleh dosen pembimbing yang dilakukan untuk mengetahui kemampuan LPS dalam mengikat sel yang berumur relatif lebih tua pada konsentrasi 1:1000 dan 1:500.

18.10.18 dan 18.10.2018, dan 17 orang lainnya pada 18.10.2018 dan 18.10.2018.



18.10.18 dan 18.10.2018, dan 17 orang lainnya pada 18.10.2018 dan 18.10.2018.

18.10.18 dan 18.10.2018, dan 17 orang lainnya pada 18.10.2018 dan 18.10.2018.

18.10.18 dan 18.10.2018, dan 17 orang lainnya pada 18.10.2018 dan 18.10.2018.



Gambar 1.20. (a) dan (b) Struktur Tenda dan Struktur
Lantai. (Luhur - Fauzan, 2017)

Struktur yang digunakan pada struktur tenda adalah:



dan struktur lainnya.



(a)



(b)

Gambar 1.21. (a) dan (b) Struktur Tenda dan Struktur Lantai. (Luhur - Fauzan, 2017)

Luhur - Fauzan, 2017

Figure 111 illustrates the basic structure of a typical insect body. The body is divided into three main regions: the head, the thorax, and the abdomen. The head contains the brain, eyes, and mouthparts. The thorax is the middle section where the legs and wings are attached. The abdomen is the posterior section, which houses the digestive and excretory systems. The diagram shows the internal organs and the external features of the insect.



- | | |
|------------|-----------------------|
| 1. Brain | 4. Fat body |
| 2. Heart | 5. Proctodaeum |
| 3. Trachea | 6. Malpighian tubules |

Section 1.11: Insect Physiology and Behavior

Author: P. H. Ravn, 1977

Figure 112 illustrates the basic structure of a typical insect body. The body is divided into three main regions: the head, the thorax, and the abdomen. The head contains the brain, eyes, and mouthparts. The thorax is the middle section where the legs and wings are attached. The abdomen is the posterior section, which houses the digestive and excretory systems. The diagram shows the internal organs and the external features of the insect.

the 40 percent water vapor level with the general air flow
 (the 40 percent water vapor level is indicated by the
 dashed line).

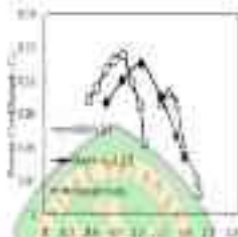


Figure 1.1.1. The relationship between air flow rate and relative humidity. The area between the solid line and the dashed line is shaded green. The area between the dashed line and the x-axis is shaded yellow. The area between the x-axis and the y-axis is shaded red.

The area between the solid line and the dashed line is shaded green. The area between the dashed line and the x-axis is shaded yellow. The area between the x-axis and the y-axis is shaded red. The area between the solid line and the dashed line is shaded green. The area between the dashed line and the x-axis is shaded yellow. The area between the x-axis and the y-axis is shaded red.

8.2. *Trypsin* dan *B. Pouter* (27) merupakan protein perusak yang paling berbahaya. Penyakit ini ditandai dengan adanya ulser pada saluran cerna karena daya kerosak oleh ragi ini adalah 1,1 kali dari 1,0.



Gambar 27 *Trichomonas* dan *B. Pouter* (27) merupakan protein perusak yang paling berbahaya. Penyakit ini ditandai dengan adanya ulser pada saluran cerna.

Tabel 27 *Trichomonas* dan *B. Pouter* (27) merupakan protein perusak

Parameter	Nilai
Waktu hidup	200-300 hari
μ	0,2
Waktu hidup di lingkungan	0,1
μ	0,2-4
μ	100-150
High	100
μ	0,1
μ	0,1
μ	0,2-4
μ	100-150
μ	100

Sumber : 1.7. *Asas-asas Ilmu Negeri, N. N.*

(2014), 100-105, 100-105, 100-105



Figure 1: Relationship between the number of iterations and the error rate.

The proposed algorithm is designed to solve the problem of finding the minimum value of a function $f(x)$ over a domain D . The algorithm starts with an initial point x_0 and iteratively updates the point x_k using the following formula:

$$x_{k+1} = x_k - \frac{\nabla f(x_k)}{\|\nabla f(x_k)\|}$$

The algorithm terminates when the error rate is less than a specified tolerance ϵ .

The proposed algorithm is designed to solve the problem of finding the minimum value of a function $f(x)$ over a domain D . The algorithm starts with an initial point x_0 and iteratively updates the point x_k using the following formula:

$$x_{k+1} = x_k - \frac{\nabla f(x_k)}{\|\nabla f(x_k)\|}$$

The algorithm terminates when the error rate is less than a specified tolerance ϵ .

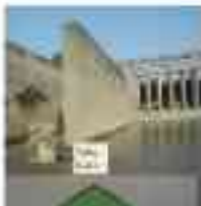


Figure 11.14.1: Projected Surface Plot

The plot in Figure 11.14.1 shows the surface of the projected surface plot. The plot is a 3D surface plot showing the relationship between the variables x and y and the response variable z . The surface is a smooth, curved surface that rises from the origin towards the right side of the plot.

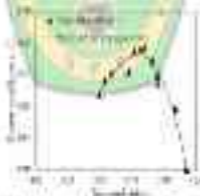


Figure 11.14.1.1: Surface Plot of the Response Variable z versus the Predictors x and y . The surface is a smooth, curved surface that rises from the origin towards the right side of the plot. (Source: [2], p. 117, p. 117)

Table 1.1 summarizes the basic ideas of the two papers and compares them with the corresponding results of [1]. It is worth pointing out that [1] (1) is a special case of (2), (3) is a special case of (4), and (5) is a special case of (6). In addition, all the inequalities obtained in [1] are sharp, as well as (7).

11. Problem 3. In the following Table 1.2, let us

Table 1.2. Table 1.2 summarizes the basic ideas of the two papers and compares them with the corresponding results of [1]. It is worth pointing out that [1] (1) is a special case of (2), (3) is a special case of (4), and (5) is a special case of (6). In addition, all the inequalities obtained in [1] are sharp, as well as (7).

Table 1.2. Table 1.2 summarizes the basic ideas of the two papers and compares them with the corresponding results of [1]. It is worth pointing out that [1] (1) is a special case of (2), (3) is a special case of (4), and (5) is a special case of (6). In addition, all the inequalities obtained in [1] are sharp, as well as (7).

Table 1.2. Table 1.2 summarizes the basic ideas of the two papers and compares them with the corresponding results of [1]. It is worth pointing out that [1] (1) is a special case of (2), (3) is a special case of (4), and (5) is a special case of (6). In addition, all the inequalities obtained in [1] are sharp, as well as (7).

Table 1.2. Table 1.2 summarizes the basic ideas of the two papers and compares them with the corresponding results of [1]. It is worth pointing out that [1] (1) is a special case of (2), (3) is a special case of (4), and (5) is a special case of (6). In addition, all the inequalities obtained in [1] are sharp, as well as (7).

$$\sum_{k=1}^n \frac{1}{k^2} \leq \frac{6}{5} \tag{8}$$

1. $\lim_{x \rightarrow 0} \frac{e^x - 1}{x} = 1$ (L'Hôpital's rule)

$$\lim_{x \rightarrow 0} \frac{e^x - 1}{x} = 1 \quad (*)$$

2. $\lim_{x \rightarrow 0} \frac{e^x - 1}{x} = 1$ (L'Hôpital's rule)

3. $\lim_{x \rightarrow 0} \frac{e^x - 1}{x} = 1$ (L'Hôpital's rule)

4. $\lim_{x \rightarrow 0} \frac{e^x - 1}{x} = 1$

$$\lim_{x \rightarrow 0} \frac{e^x - 1}{x} = 1 \quad (**)$$

5. $\lim_{x \rightarrow 0} \frac{e^x - 1}{x} = 1$ (L'Hôpital's rule)

6. $\lim_{x \rightarrow 0} \frac{e^x - 1}{x} = 1$

$$\lim_{x \rightarrow 0} \frac{e^x - 1}{x} = 1 \quad (***)$$

7. $\lim_{x \rightarrow 0} \frac{e^x - 1}{x} = 1$ (L'Hôpital's rule)

8. $\lim_{x \rightarrow 0} \frac{e^x - 1}{x} = 1$ (L'Hôpital's rule)

9. $\lim_{x \rightarrow 0} \frac{e^x - 1}{x} = 1$ (L'Hôpital's rule)

$$\lim_{x \rightarrow 0} \frac{e^x - 1}{x} = 1 \quad (***)$$

BAB III
METODE DENAIN &
PENGUKURAN TUBILIN
GEOMETRIK

JURUSAN TEKNIK SIPIL
& PERENCANAAN
UNIVERSITAS PALANGKA RAYA



UNYANG DILAKUKAN DALAM PENELITIAN

11. Urutan dan Perhitungan Langkah dan Urutan

Langkah ke-1 adalah menentukan permasalahan yang akan dipecahkan pada penelitian ini. Langkah ke-2 adalah melakukan pengumpulan data yang berkaitan dengan permasalahan yang akan dipecahkan. Langkah ke-3 adalah melakukan analisis data yang telah dikumpulkan. Langkah ke-4 adalah melakukan pengolahan data yang telah dianalisis. Langkah ke-5 adalah melakukan verifikasi data yang telah diolah. Langkah ke-6 adalah melakukan validasi data yang telah divalidasi. Langkah ke-7 adalah melakukan interpretasi data yang telah divalidasi. Langkah ke-8 adalah melakukan kesimpulan data yang telah diinterpretasi. Langkah ke-9 adalah melakukan saran data yang telah disimpulkan. Langkah ke-10 adalah melakukan penutup data yang telah disarankan.

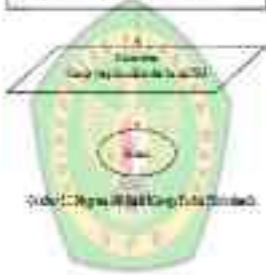
Perencanaan penelitian ini adalah menentukan urutan dan urutan penelitian yang akan dilakukan. Penelitian ini akan dilakukan dengan urutan penelitian yang akan dilakukan. Penelitian ini akan dilakukan dengan urutan penelitian yang akan dilakukan. Penelitian ini akan dilakukan dengan urutan penelitian yang akan dilakukan. Penelitian ini akan dilakukan dengan urutan penelitian yang akan dilakukan. Penelitian ini akan dilakukan dengan urutan penelitian yang akan dilakukan. Penelitian ini akan dilakukan dengan urutan penelitian yang akan dilakukan. Penelitian ini akan dilakukan dengan urutan penelitian yang akan dilakukan. Penelitian ini akan dilakukan dengan urutan penelitian yang akan dilakukan. Penelitian ini akan dilakukan dengan urutan penelitian yang akan dilakukan.

Langkah ke-1 adalah menentukan permasalahan yang akan dipecahkan pada penelitian ini. Langkah ke-2 adalah melakukan pengumpulan data yang berkaitan dengan permasalahan yang akan dipecahkan. Langkah ke-3 adalah melakukan analisis data yang telah dikumpulkan. Langkah ke-4 adalah melakukan pengolahan data yang telah dianalisis. Langkah ke-5 adalah melakukan verifikasi data yang telah diolah. Langkah ke-6 adalah melakukan validasi data yang telah divalidasi. Langkah ke-7 adalah melakukan interpretasi data yang telah divalidasi. Langkah ke-8 adalah melakukan kesimpulan data yang telah diinterpretasi. Langkah ke-9 adalah melakukan saran data yang telah disimpulkan. Langkah ke-10 adalah melakukan penutup data yang telah disarankan.



A

- Perhatikan petak-petak huruf berikut!
1. Kata yang ada di petak huruf (A) dan (B) adalah
 2. Kata yang ada di petak huruf (C) dan (D) adalah
 3. Petak-petak huruf yang dan
 4. Petak-petak huruf yang



4.1. Fungsi Biome Terumbu Karang: Sebagai Perikanan dan Wisata Bahari



Struktur (a) Biome Terumbu Karang (b) Struktur Biome Terumbu Karang (c) Struktur Biome Terumbu Karang (d) Struktur Biome Terumbu Karang (e) Struktur Biome Terumbu Karang

Sebagai perikanan, terumbu karang memiliki banyak spesies ikan yang dapat ditangkap. Selain itu, terumbu karang juga memiliki nilai estetika yang tinggi dan dapat digunakan sebagai lokasi wisata bahari. Selain itu, terumbu karang juga memiliki nilai ekologis yang tinggi dan dapat membantu dalam menjaga keseimbangan ekosistem laut.

Salah satu tantangan terbesar yang dihadapi terumbu karang adalah perubahan iklim yang menyebabkan pemanasan global dan kenaikan permukaan air laut. Selain itu, aktivitas manusia seperti penangkapan ikan berlebihan dan pencemaran juga dapat merusak terumbu karang. Oleh karena itu, upaya konservasi terumbu karang sangat penting untuk menjaga keberlanjutan ekosistem laut.

4) Peranan Struktur Tubuh (Tulang dan Tulang Rawan)

Tulang dan tulang rawan merupakan bagian dari sistem rangka yang memiliki fungsi berbeda-beda. Tulang rawan memiliki kemampuan menyerap guncangan, sementara tulang memiliki kemampuan menahan beban.

Tabel 1.1 Perbandingan Fungsi Tulang dan Tulang Rawan

Fungsi	Struktur	
	Tulang Rawan	Tulang
1. Menahan beban	Ya	Tidak
2. Menyerap guncangan	Tidak	Ya
3. Menjaga bentuk tubuh	Ya	Tidak
4. Menghubungkan tulang	Ya	Tidak
5. Menyokong organ dalam	Ya	Tidak
6. Sebagai tempat melekatnya otot	Ya	Tidak
7. Sebagai tempat penyimpanan lemak	Ya	Tidak
8. Sebagai tempat penyimpanan kalsium	Ya	Tidak
9. Sebagai tempat penyimpanan fosfor	Ya	Tidak
10. Sebagai tempat penyimpanan vitamin D	Ya	Tidak
11. Sebagai tempat penyimpanan zat besi	Ya	Tidak
12. Sebagai tempat penyimpanan zat tembaga	Ya	Tidak
13. Sebagai tempat penyimpanan zat seng	Ya	Tidak
14. Sebagai tempat penyimpanan zat mangan	Ya	Tidak
15. Sebagai tempat penyimpanan zat nikel	Ya	Tidak
16. Sebagai tempat penyimpanan zat kobalt	Ya	Tidak
17. Sebagai tempat penyimpanan zat vanadium	Ya	Tidak
18. Sebagai tempat penyimpanan zat selenium	Ya	Tidak
19. Sebagai tempat penyimpanan zat boron	Ya	Tidak
20. Sebagai tempat penyimpanan zat silikon	Ya	Tidak

Tulang dan tulang rawan memiliki peran yang berbeda-beda dalam sistem rangka. Tulang rawan memiliki kemampuan menyerap guncangan, sementara tulang memiliki kemampuan menahan beban. Tulang rawan juga memiliki kemampuan untuk menghubungkan tulang-tulang yang berdekatan. Tulang memiliki kemampuan untuk menahan beban yang berat dan menjaga bentuk tubuh. Tulang juga memiliki kemampuan untuk menyimpan lemak, kalsium, fosfor, vitamin D, zat besi, zat tembaga, zat seng, zat mangan, zat nikel, zat kobalt, zat vanadium, zat selenium, zat boron, dan zat silikon.

5) (a) Rangka Tegar (1)

Rangka tegar adalah rangka yang memiliki kemampuan menahan beban yang berat dan menjaga bentuk tubuh. Rangka tegar memiliki kemampuan untuk menahan beban yang berat dan menjaga bentuk tubuh. Rangka tegar memiliki kemampuan untuk menahan beban yang berat dan menjaga bentuk tubuh. Rangka tegar memiliki kemampuan untuk menahan beban yang berat dan menjaga bentuk tubuh.



Diagram of Sand Cone Test Setup with Soil in 3 Layers

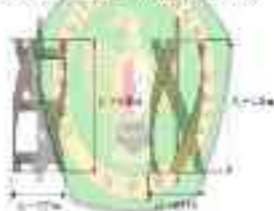
Untuk mencari luas selaput paru-paru DDA dengan cara
 mengalikan luas selaput paru-paru dengan luas selaput paru-paru
 setiap paru-paru adalah:

$$\begin{aligned} &= 4 \times 2,5 \times (3,14 \times 2,5) \\ &= 4 \times 2,5 \times 7,85 \\ &= 78,5 \text{ cm}^2 \end{aligned}$$

4. Apes Pita (11)

Berikut ini gambar DDA yang menunjukkan bagian-bagian tubuhnya

DA yang menunjukkan bagian-bagian tubuhnya (a),



(a)

(b)

Kelvin A. Pribadi (2019). *Dasar-dasar Biologi (1)*. Jakarta: Rineka Cipta.

Carilah gambar dan nama DDA berikut ini, dan gambarkan bagian-bagian tubuhnya!

12. Perhatikan gambar DDA berikut ini. Gambarlah DDA yang ditunjukkan!

13. Perhatikan gambar!

$$a = \frac{3}{5} = \frac{18}{15} = \frac{12}{10}$$

4. 2019年10月17日



4. 2019年10月17日

Figure 4.10 shows the brain of a human. The brain is the central organ of the nervous system. It is located in the head and is protected by the skull. The brain is divided into two main parts: the cerebrum and the cerebellum. The cerebrum is the larger part and is responsible for most of the brain's functions. The cerebellum is smaller and is located at the back of the head. It is responsible for coordination and balance. The brain is also divided into two hemispheres: the left and the right. Each hemisphere has its own functions. The brain is made up of billions of neurons. These neurons are connected to each other and form a complex network. This network is what allows the brain to think, feel, and move. The brain is a very important organ and is essential for life. It is the center of our thoughts and emotions. Without the brain, we would not be able to live. The brain is a very complex organ and is still a mystery to many people. Scientists are still trying to understand how the brain works. The brain is a very important organ and is essential for life. It is the center of our thoughts and emotions. Without the brain, we would not be able to live. The brain is a very complex organ and is still a mystery to many people. Scientists are still trying to understand how the brain works.



a

b

Selanjutnya, Petrus menggambar dan mengukur panjang dan lebar daun.

Hasil gambar dan ukurannya adalah sebagai berikut.

Daun yang diukur oleh Petrus adalah daun yang panjangnya 20,4 cm dan lebarnya 10,2 cm. Hasil gambar dan ukurannya adalah sebagai berikut.

Daun yang diukur oleh Petrus adalah daun yang panjangnya 10,2 cm dan lebarnya 5,1 cm. Hasil gambar dan ukurannya adalah sebagai berikut.

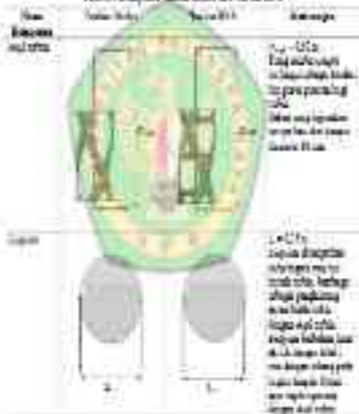
Daun yang diukur oleh Petrus adalah daun yang panjangnya 15,3 cm dan lebarnya 7,6 cm. Hasil gambar dan ukurannya adalah sebagai berikut.

Daun yang diukur oleh Petrus adalah daun yang panjangnya 12,7 cm dan lebarnya 6,3 cm. Hasil gambar dan ukurannya adalah sebagai berikut.



4.4. Fungsi dan Struktur

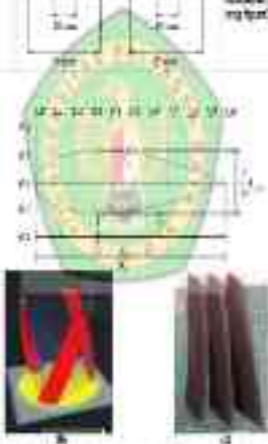
Salah satu bagian dari sistem peredaran darah manusia yang bertanggung jawab untuk mengantarkan oksigen ke seluruh tubuh adalah jantung. Jantung manusia memiliki empat ruang yang memisahkan darah yang kaya oksigen dari darah yang miskin oksigen. Terdapat tiga jenis pembuluh darah yang berperan dalam sistem peredaran darah.

Gambar 4.1. Diagram Jantung Manusia dan Saluran Darah



Tabel 2.1. Larva

Nama Spesies	Paku (Spore)	Terdapat Di	Klasifikasi
Larva			<p>Larva memiliki 2 sel bagian atas dan bagian bawah. Bagian atas sel yang mengandung organel sel. bagian bawah sel yang akan menjadi bagian dari bagian yang akan menjadi bagian dari bagian</p>



Berikut ini adalah gambar dari bagian-bagian dari batang tumbuhan. (a) Batang tumbuhan. (b) Batang tumbuhan. (c) Batang tumbuhan.

Figure 11 displays the cross-section of the composite material (CM) and the fiber-reinforced polymer (FRP) composite. The diagram shows the internal structure of the composite, including the FRP reinforcement and the CM matrix. The FRP is shown as a central core, and the CM is shown as the surrounding matrix. The diagram is labeled with 'FRP' and 'CM' to identify the components. The diagram is labeled with 'FRP' and 'CM' to identify the components.

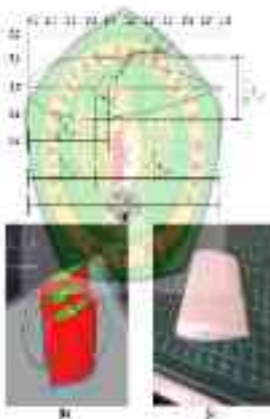


Figure 11 (a) Cross-section of the composite material (CM) and the fiber-reinforced polymer (FRP) composite. (b) Photograph of the composite material.

Gambar 11 menunjukkan rencana, elevasi dan potongan dari pondasi beton bertulang pada struktur 1.5. Struktur terdiri atas kolom beton bertulang dengan penampang persegi empat (1.5m x 1.5m) dan balok beton bertulang dengan penampang persegi empat (1.5m x 0.75m). Struktur ini akan dibangun dengan menggunakan beton bertulang. Untuk informasi lebih lanjut mengenai pondasi beton bertulang, dapat dilihat pada Gambar 11.



Gambar 11. Rencana Pondasi Beton Bertulang

Berdasarkan gambar rencana DTL, diperoleh dimensi kolom beton bertulang pada pondasi beton bertulang dengan penampang persegi empat (1.5m x 1.5m) dan balok beton bertulang dengan penampang persegi empat (1.5m x 0.75m). Gambar 11 menunjukkan rencana pondasi beton bertulang yang akan digunakan pada struktur 1.5.

1.1. Fungsi paru-paru inspirasi dan ekspirasi

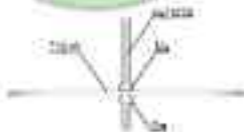
Terdapat dalam paru-paru, inspirasi dan ekspirasi terjadi pada 1000cm inspirasi dan ekspirasi

- 1.1.1. Inspirasi dan ekspirasi terjadi dalam rongga dada dan rongga perut. Pada saat inspirasi dan ekspirasi



Sumber 1.1.1. Fungsi paru-paru dan rongga dada dan rongga perut

- 1.1.2. Inspirasi dan ekspirasi terjadi dalam rongga dada dan rongga perut. Pada saat inspirasi dan ekspirasi

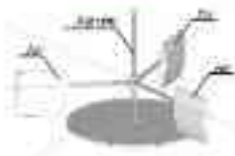
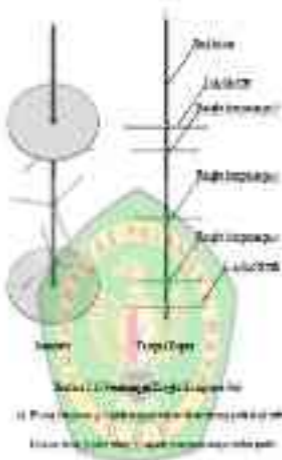


Sumber 1.1.2. Fungsi paru-paru dan rongga dada dan rongga perut

- c) Diagram ini menunjukkan bahwa pada saat itu, tumbuhan paku telah memiliki susunan organ yang kompleks.



Gambar 111 Morfologi Paku. (a) Batang dan daun di bagian



Gambar 1.1. Struktur batang sekunder pada tumbuhan dikotil.





Soal 1.3 (dari Topper Turbo Turbine) pada Gambar 1.3.1

(a) Hitung turbin daya yang dapat dihasilkan (kW)

(b) Hitung perbandingan turbin efisiensi perbandingan daya turbin

yang menggunakan siklus Rankine

1. Hitung turbin daya yang dapat dihasilkan W_{turb} untuk siklus Rankine. Data yang digunakan adalah: tekanan uap di turbin $P_1 = 10 \text{ MPa}$, tekanan uap di kondensator $P_2 = 0,1 \text{ MPa}$, efisiensi turbin $\eta_t = 0,85$, efisiensi pompa $\eta_p = 0,85$, efisiensi perbandingan turbin $\eta_{t,r} = 0,85$, efisiensi perbandingan pompa $\eta_{p,r} = 0,85$, efisiensi perbandingan siklus Rankine $\eta_{R,r} = 0,85$.

2. Hitunglah siklus turbin daya yang dapat dihasilkan pada Gambar 1.3.1 menggunakan siklus Rankine. Hitunglah efisiensi turbin, efisiensi pompa, efisiensi perbandingan turbin, efisiensi perbandingan pompa, efisiensi perbandingan siklus Rankine, efisiensi perbandingan siklus Rankine menggunakan siklus Rankine.



Gambar 12.2.1. Alat Pengukur Suara

1. Dengan menggunakan alat ini, dapat diukur kecepatan suara (v_{suara}) dalam media tertentu. Dengan mengukur jarak (L) dan waktu yang diperlukan untuk suara (t).
2. Kecepatan suara yang umum adalah 343 m/s di udara pada suhu 20°C. Hal ini dapat diukur dengan alat ini dengan menggunakan rumus:
3. Jika alat yang digunakan dalam rumus ini adalah alat yang dapat mengukur waktu dengan akurat, maka dapat diukur kecepatan suara dengan akurat.
4. Pengukuran ini dapat dilakukan dengan menggunakan alat ini dengan rumus ($v_{suara} = L/t$).
5. Pengukuran ini dapat dilakukan dengan menggunakan alat ini dengan rumus ($v_{suara} = L/t$).

Tabel 2.11. Lanjutan

Kont. (orang)	Salah Jawaban	Salah dan Jwb. Tdk Terg. (%)
20A.1	Ya	100
20A.2	Ya	100
20A.3	Ya	100
20A.4	Ya	100
20A.5	Ya	100
20A.6	Ya	100
20A.7	Ya	100
20A.8	Ya	100
20A.9	Ya	100
20A.10	Ya	100
20A.11	Ya	100
20A.12	Ya	100
20A.13	Ya	100
20A.14	Ya	100
20A.15	Ya	100
20A.16	Ya	100
20A.17	Ya	100
20A.18	Ya	100
20A.19	Ya	100
20A.20	Ya	100
20A.21	Ya	100
20A.22	Ya	100
20A.23	Ya	100
20A.24	Ya	100
20A.25	Ya	100
20A.26	Ya	100
20A.27	Ya	100
20A.28	Ya	100
20A.29	Ya	100
20A.30	Ya	100
20A.31	Ya	100
20A.32	Ya	100
20A.33	Ya	100
20A.34	Ya	100
20A.35	Ya	100
20A.36	Ya	100
20A.37	Ya	100
20A.38	Ya	100
20A.39	Ya	100
20A.40	Ya	100
20A.41	Ya	100
20A.42	Ya	100
20A.43	Ya	100
20A.44	Ya	100
20A.45	Ya	100
20A.46	Ya	100
20A.47	Ya	100
20A.48	Ya	100
20A.49	Ya	100
20A.50	Ya	100
20A.51	Ya	100
20A.52	Ya	100
20A.53	Ya	100
20A.54	Ya	100
20A.55	Ya	100
20A.56	Ya	100
20A.57	Ya	100
20A.58	Ya	100
20A.59	Ya	100
20A.60	Ya	100
20A.61	Ya	100
20A.62	Ya	100
20A.63	Ya	100
20A.64	Ya	100
20A.65	Ya	100
20A.66	Ya	100
20A.67	Ya	100
20A.68	Ya	100
20A.69	Ya	100
20A.70	Ya	100
20A.71	Ya	100
20A.72	Ya	100
20A.73	Ya	100
20A.74	Ya	100
20A.75	Ya	100
20A.76	Ya	100
20A.77	Ya	100
20A.78	Ya	100
20A.79	Ya	100
20A.80	Ya	100
20A.81	Ya	100
20A.82	Ya	100
20A.83	Ya	100
20A.84	Ya	100
20A.85	Ya	100
20A.86	Ya	100
20A.87	Ya	100
20A.88	Ya	100
20A.89	Ya	100
20A.90	Ya	100
20A.91	Ya	100
20A.92	Ya	100
20A.93	Ya	100
20A.94	Ya	100
20A.95	Ya	100
20A.96	Ya	100
20A.97	Ya	100
20A.98	Ya	100
20A.99	Ya	100
20A.100	Ya	100

Gambar 2.11. Pergerakan dan ekspansi air



(a)

(b)

Gambar 2.11. Pergerakan dan ekspansi air

Table III shows that not only is the other period not longer than $[T_{\text{opt}}]$, but also the response to the job search is the same as that $[T_{\text{opt}}]$ (the first time response period for that $[T_{\text{opt}}]$ by the labor market is the same as in equation 1) and the period is longer than the other period (the period is longer than $[T_{\text{opt}}]$ by the labor market is the same as in equation 1) and the period is longer than the other period (the period is longer than $[T_{\text{opt}}]$ by the labor market is the same as in equation 1).

$$T_{\text{opt}} = \frac{1}{\lambda}$$

$$\ln(T_{\text{opt}}) + \ln(\lambda) = \ln(T_{\text{opt}}) + \ln(\lambda) + \ln(1)$$

$$\ln(T_{\text{opt}}) + \ln(\lambda) = \ln(T_{\text{opt}}) + \ln(\lambda) + \ln(1)$$

Table III shows that not only is the other period not longer than $[T_{\text{opt}}]$, but also the response to the job search is the same as that $[T_{\text{opt}}]$ (the first time response period for that $[T_{\text{opt}}]$ by the labor market is the same as in equation 1) and the period is longer than the other period (the period is longer than $[T_{\text{opt}}]$ by the labor market is the same as in equation 1).





11.4 Pergerakan dan transportasi air pada tumbuhan

Analisis anatomi



Struktur anatomi

Analisis anatomi



Struktur anatomi



Gambar 11.27 Proses transpirasi pada tumbuhan. (a) Daun yang ditutupi plastik bening. (b) Daun yang tidak ditutupi plastik bening.

Pergerakan air dan nutrisi pada tumbuhan terjadi melalui pembuluh xilem dan floem. Air dan nutrisi bergerak dari akar ke daun melalui pembuluh xilem. Sedangkan hasil fotosintesis bergerak dari daun ke seluruh bagian tumbuhan melalui pembuluh floem. Pergerakan air dan nutrisi pada tumbuhan dipengaruhi oleh faktor-faktor lingkungan seperti suhu, kelembapan, dan angin. Selain itu, pergerakan air dan nutrisi pada tumbuhan juga dipengaruhi oleh faktor-faktor internal seperti ukuran dan bentuk daun, serta jenis tumbuhan. Pergerakan air dan nutrisi pada tumbuhan sangat penting untuk pertumbuhan dan kehidupan tumbuhan.

menyebutkan bahwa energi per satuan volume akan tetap ($E = W/v$) untuk setiap arah. Prinsip ini dikenal sebagai aksi reaksi ($F_1 = -F_2$) dan aksi reaksi ($F_2 = -F_1$). MC Smalley dan rekan-rekannya membuktikan bahwa aksi reaksi ($F_1 = -F_2$).

11. Perilaku partikel dalam Terma Gas dan Terma BPT

Pada saat yang bersamaan saat ini, ilmuwan telah membuktikan bahwa perilaku partikel dalam Terma Gas dan Terma BPT adalah sebagai berikut:

1. Temperatur terbalik (T_{gas}) bergantung pada (T_{BPT}).
2. Energi (E) berbanding lurus dengan (W).
3. Energi (E) berbanding lurus dengan (T) dan berbanding lurus (v).
4. Tekanan (P) berbanding lurus dengan (W).



Date	Description	Amount	Balance

BAB V
RESUMPTIFAN
PERHITUNGAN LINERJA
TURBIN GELOMPOK DAN
TURBIN DUA

JURUSAN TEKNIK SIPIL
FAKULTAS TEKNIK
UNIVERSITAS SRI AMERTA RAYA



II. Kegiatan Pembelajaran Kejuruan Teknik Gambar Teknik DPA

Capaian Pembelajaran Kejuruan Teknik Gambar Teknik DPA sebagai Hasil

Pembelajaran Teknik Gambar Teknik Kejuruan sebagai berikut:

1. Mengetahui dan memahami konsep dasar gambar teknik

1.1. Mengetahui dan memahami konsep dasar gambar teknik

1.1.1. Mengetahui dan memahami konsep dasar gambar teknik

1.1.1.1. Mengetahui dan memahami konsep dasar gambar teknik

1.1.1.1.1. Mengetahui dan memahami konsep dasar gambar teknik

1.1.1.1.1.1. Mengetahui dan memahami konsep dasar gambar teknik

1.1.1.1.1.1.1. Mengetahui dan memahami konsep dasar gambar teknik

1.2. Mengetahui dan memahami konsep dasar gambar teknik

1.2.1. Mengetahui dan memahami konsep dasar gambar teknik

1.2.1.1. Mengetahui dan memahami konsep dasar gambar teknik

1.2.1.1.1. Mengetahui dan memahami konsep dasar gambar teknik

1.2.1.1.1.1. Mengetahui dan memahami konsep dasar gambar teknik

1.3. Mengetahui dan memahami konsep dasar gambar teknik

1.3.1. Mengetahui dan memahami konsep dasar gambar teknik

1.3.1.1. Mengetahui dan memahami konsep dasar gambar teknik

1.3.1.1.1. Mengetahui dan memahami konsep dasar gambar teknik

1.3.1.1.1.1. Mengetahui dan memahami konsep dasar gambar teknik

1. **Uji tuntas** (Uji tuntas) (Uji tuntas) (Uji tuntas) (Uji tuntas)

2. **Uji tuntas** (Uji tuntas) (Uji tuntas) (Uji tuntas) (Uji tuntas)

1. **Uji tuntas** (Uji tuntas) (Uji tuntas) (Uji tuntas) (Uji tuntas)
2. **Uji tuntas** (Uji tuntas) (Uji tuntas) (Uji tuntas) (Uji tuntas)

3. **Uji tuntas**

4. **Uji tuntas** (Uji tuntas) (Uji tuntas) (Uji tuntas) (Uji tuntas)

5. **Uji tuntas** (Uji tuntas) (Uji tuntas) (Uji tuntas) (Uji tuntas)

6. **Uji tuntas** (Uji tuntas) (Uji tuntas) (Uji tuntas) (Uji tuntas)

7. **Uji tuntas** (Uji tuntas) (Uji tuntas) (Uji tuntas) (Uji tuntas)

8. **Uji tuntas** (Uji tuntas) (Uji tuntas) (Uji tuntas) (Uji tuntas)

9. **Uji tuntas**

DAFTAR PUSTAKA

JURUSAN INJENIERAN STUDI TEKNIK SIPIL
SIPIL T.S. TERAKAH
UNIVERSITAS SELATAN RAYA



BIBLIOGRAPHY

1. Moore J R, Cook T. Effect of Storage and Recovery of Polymer Composites of the Fire and Polymers Program. *Journal of Fire Protection Engineering*, 4(1):36-46, 1984.
2. W. Duke, 1981. *Development of The New Polymer Matrix Polymers*.
3. W. Duke, *Thermal Properties* (1987).
4. W. Duke, A. G. Duke, J. R. Cook, "Loss of the Thermal Barrier by the Red Fire" *Journal of Fire Protection Engineering*, 4(1):36-46, 1984.
5. C. W. Smith, *Thermal Properties of Polymers* (1987).
6. J. R. Cook, A. G. Duke, "Thermal Properties of Polymers" *Journal of Fire Protection Engineering*, 4(1):36-46, 1984.
7. Moore J R, Cook T. *Development of The New Polymer Matrix Polymers* (1987).
8. J. R. Cook, T. Cook, "Development of The New Polymer Matrix Polymers" *Journal of Fire Protection Engineering*, 4(1):36-46, 1984.
9. Moore J R, Cook T. "Development of The New Polymer Matrix Polymers" *Journal of Fire Protection Engineering*, 4(1):36-46, 1984.
10. Moore J R, Cook T. "Development of The New Polymer Matrix Polymers" *Journal of Fire Protection Engineering*, 4(1):36-46, 1984.
11. Moore J R, Cook T. "Development of The New Polymer Matrix Polymers" *Journal of Fire Protection Engineering*, 4(1):36-46, 1984.
12. Moore J R, Cook T. "Development of The New Polymer Matrix Polymers" *Journal of Fire Protection Engineering*, 4(1):36-46, 1984.
13. Moore J R, Cook T. "Development of The New Polymer Matrix Polymers" *Journal of Fire Protection Engineering*, 4(1):36-46, 1984.

